

کانی‌شناسی، ژئوشیمی و خاستگاه کانسارهای آهن شمال سمنان

نوشته: علیرضا غیاثوند^{*}، مجید قادری^{*} و نعمت‌الله رشیدنژاد عمران^{*}

^{*}دانشکده علوم پایه، دانشگاه تربیت مدرس، تهران، ایران

تاریخ پذیرش: ۱۳۸۵/۰۳/۲۰ تاریخ دریافت: ۱۳۸۷/۰۳/۱۱

چکیده

کانسارهای آهن شمال سمنان در جنوب زون ساختاری البرز مرکزی واقع شده‌اند. از نظر چینه‌شناسی، بروزدهای پالئوزویک تا کواترنر در این منطقه مشاهده می‌شوند. گسل‌های سمنان، در جزین، عطاری و دیکتاش منطقه را متأثر ساخته‌اند. در شمال سمنان، توده‌ای گرانیتوییدی با ترکیب حد واسط تا اسیدی و ماهیت کلسمی-قلایی و متا‌آلومین، که ویژگی‌های گرانیت‌های نوع I را نشان می‌دهد، در سنگ‌های آتشفشاری-آذرآواری ائوسن نفوذ کرده، به گونه‌ای که در محل تماس توده با این سنگ‌ها، اسکارن زایی و کانه‌زایی آهن رخ داده است. کانی‌شناسی کانسارها به صورت مگنتیت، هماهله با هماتیت، اولریست، پیریت، کالکوپیریت، گارنت، پیروکسن و اپیدوت است. ماده معدنی به شکل توده‌ای، عدسی و رگه‌ای بوده و بافت آن پراکنده، برشی، رگه-رگه‌ای و توده‌ای است. دگرسانی‌های پیروپیلیتی، آذریلی، سیلیسی، سریسیتی، کلریتی و پیریتی، به ترتیب بیشترین گسترش را در منطقه دارند. ویژگی‌های توده نفوذی منطقه، هماهنگی بسیار جالبی را با توده‌های نفوذی مولد اسکارن آهن نشان می‌دهند. بر اساس تغییر پارامترهای محاسبه شده برای عناصر REE، سیالات گرمابی مؤثر در کانه‌زایی، حائز منشأ ماغمایی بوده و توده نفوذی در تأمین مواد معدنی تشکیل دهنده اسکارن، سهم عمده را بر عهده داشته است. به موازات تزریق، جایگیری و تبلور توده نفوذی، حجم قابل توجهی سیال آهن‌دار، از راه نفوذ در سنگ‌های آتشفشاری-آذرآواری، باعث متساوی‌ترین قلایی و نهشته شدن کانسارهای آهن شمال سمنان شده که دارای تشابه زیادی با کانسارهای اسکارن آهن کلسمیک است.

کلیدواژه‌ها: کانی‌شناسی، ژئوشیمی، آهن، اسکارن، سمنان.

مقدمه

منطقه مورد مطالعه، در ۱۲ کیلومتری شمال تا شمال خاوری سمنان و در عرض‌های شمالی ۳۴°۳۶' تا ۳۵°۴۳' و طول‌های خاوری ۵۳°۲۰' تا ۳۰°۵۳' واقع است (شکل ۱). از نظر آب و هوایی، این منطقه جزو مناطق خشک کویری به شمار می‌آید. در این منطقه، سه کانسار به نام‌های جنوب زردتوپ (کانسار ۱)، زردکمر (کانسار ۲) و باخته منطقه (کانسار ۳) در تماس با توده نفوذی و در سری سنگ‌های آتشفشاری-آذرآواری ائوسن قرار گرفته‌اند (شکل ۱). این کانسارها به طور عمده ترکیب مگنتیتی دارند و می‌توانند در تأمین اکسید آهن مورد نیاز جهت کارخانه سیمان تهران و مصارف دیگر محلی مورد استفاده قرار گیرند. با توجه به گسترش قابل ملاحظه این نوع کانسارها در نقاط مختلف کشور و از جمله در استان سمنان و نبود مطالعات کافی در این زمینه، این تحقیق گامی در جهت شناخت بهتر این کانسارها است.

مطالعات قبلی انجام یافته در منطقه به طور عمده شامل تهیه نقشه زمین‌شناسی سمنان با مقیاس ۱:۱۰۰۰۰ (نبوی، ۱۳۶۶) و نیز بررسی سنگ‌شناسی منطقه شمال سمنان (صمدی، ۱۳۷۷) بوده است. در مطالعه حاضر، تحقیق در مراحل مختلف، از جمله عملیات صحرایی و مطالعات آزمایشگاهی به گونه‌ای انجام شد که تعداد ۶۴ مقطع نازک، صیقلی و نازک-صیقلی برای مطالعه بافت و ساخت ماده معدنی و نحوه توزیع کانی‌ها در سنگ‌های درونگیر ماده معدنی و در کانسگ‌ها بررسی شد. به منظور مطالعه عناصر جزئی و REE توده نفوذی، سنگ‌های درونگیر ماده معدنی و کانسگ‌ها و مقایسه آنها با یکدیگر و مناطق مشابه، ابتدا ۱۵ نمونه به روشن XRF در دانشگاه تربیت مدرس تجزیه شدند و بر اساس نتایج حاصل، ۱۲ نمونه به روشن‌های ICP-AES و ICP-MS در مؤسسه ALS-Chemex و نکوور کانادا تجزیه گردید. سپس نتایج حاصل با کمک نرم‌افزارهای مختلف پردازش و تحلیل شد. تعداد ۱۲ نمونه نیز به روشن XRD برای بررسی انواع دگرسانی در دانشگاه تربیت مدرس تجزیه گردید. نقشه زمین‌شناسی-معدنی منطقه با مقیاس ۱:۲۰۰۰۰ نوشته زمین‌شناسی ۱:۱۰۰۰۰ سمنان (نبوی، ۱۳۶۶)، با انجام مطالعات صحرایی و با استفاده از تصاویر ماهواره‌ای IRS و Landsat تهیه و ترسیم شد (شکل ۱).

بحث

زمین‌شناسی

واحدهای سنگ‌چینه‌ای منطقه بر اساس سن و سنگ‌شناسی به ۸ مجموعه تقسیم می‌شوند (شکل ۱)، که عبارتند از:

۱- سنگ‌آهک‌های خاکستری اریتولین‌دار، مارن و شیل گلوکونیت‌دار، ماسه‌سنگ و کنگلومرای سرخ رنگ کرتاسه، ۲- سنگ‌های رسوی-آذرآواری ائوسن، به طور عمده شامل سنگ‌آهک‌های توپی نومولیت‌دار، مارن- توف خاکستری، توف‌های زرد فوهه‌ای و ریزدانه، برش-کنگلومرا و ماسه‌سنگ‌های درشت‌دانه نومولیت‌دار، ۳- مجموعه سنگ‌های آتشفشاری ائوسن، به طور عمده شامل گدازه‌های آندزیت، تراکی آندزیت، تراکیت و گبده‌های داسیت و رویداسیت، ۴- سری سنگ‌های رسوی ائوسن-الیگو سن شامل سنگی تخریبی و تبخیری، ۵- سنگ‌های آذرین درونی شامل توده نفوذی گرانیتوییدی نوکه در خاور تا مرکز منطقه و توده کوچک دیوریتی در باخته منطقه با سن پس از ائوسن، ۶- مجموعه اسکارن (با کانی‌هایی مانند گارنت، پیروکسن، آمفیبول، اپیدوت، کلریت و مگنتیت)، ۷- سنگ‌های تخریبی نثرن، شامل کنگلومرای توده‌ای خاکستری رنگ و ۸- پادگانه‌های رودخانه‌ای، آبرفت‌ها و اریزه‌های کواترنری.

سنگ‌های آذرین منطقه، شامل سنگ‌های آتشفشاری و نفوذی هستند. سنگ‌های آتشفشاری بخشی از کمرنده آتشفشاری ائوسن البرز است که به صورت گدازه و آذرآواری گسترش یافته‌اند. همچنین تعدادی دایک بازی در سنگ‌های آتشفشاری یاد شده تزریق شده‌اند. در شمال خاوری سمنان، یک توده گرانیتوییدی در سنگ‌های رسوی و آتشفشاری ائوسن نفوذ کرده (شکل ۲) و باعث دگرگونی آنها شده، به گونه‌ای که در محل تماس توده با سنگ‌های آتشفشاری-آذرآواری، اسکارن تشکیل شده است (شکل ۳).

بافت سنگ‌های آتشفشاری-آذرآواری از نوع میکرولیتیک پورفیری، گلومرپورفیری و گاهی فلسفیتی بوده، پلاژیوکلاز، فلدسپار قلایی، کوارتز و به مقدار کم هورنبلنده، بیوتیت و پیروکسن، کانی‌های اصلی را تشکیل می‌دهند. کانی‌های کدر به صورت پراکنده، ریز و درشت حضور دارند. کلیست به دو صورت، در درزه و شکستگی

هماتیت، لیمونیت، مالاکیت و اکسید منگنز است. مجموعه مذکور به شدت درزه دارد است. لکه های کوارتز، به صورت بی شکل (میارولیتی) همچون تارهای به هم وصل شده اند. بافت سنگ میکرو گرانوپلاستیک و کاتاکلاستیک است (شکل ۷).

رنگ گارنت ها، در نور طبیعی قهوه ای روشن است، بر جستگی آنهای بالا و درزه های زیادی در آنها قابل تشخیص است. کلیست گاه فضای بین درزه هارا پر نموده است. گارنت هادرای شکل بلوری خود ریخت تانیمه خود ریخت بوده و از خود زون بنده نشان می دهد.

در کانسارهای آهن شمال سمنان، گسترش پیروکسن از گارنت کمتر بوده، رنگ آن در نور طبیعی، سبز تا زرد و خاکستری تیره، چند رنگی آن بسیار ضعیف و بلورهای آن شکل دار تا نیمه شکل دار است. این پیروکسن ها به طور عمده از نوع دیوپسید هستند (شکل ۸). بر اساس نتایج تجزیه XRD، ولاستونیت که به شدت تحت دگرسانی قرار گرفته، در زون اسکارن واقع در باختن منطقه، حضور دارد و بر اساس Einaudi et al. (1981) مربوط به برونا اسکارن در اسکارن آهن کلیستی است.

در سنگ های آذرین درونی و بیرونی، اپیدوت گسترش پیدا کرده و در لابلای پلازیو کلازها هر جا فضای خالی بوده است، دیده می شود (شکل ۹). بر اساس Pichler (1997) اپیدوت به صورت گستره در سنگ های دگر گونی همبری گسترش دارد. اپیدوت، شکاف های سنگ های دیواره متاسوماتیزه را پر کرده است. بنابر Shimazaki (1980) وجود اپیدوت نشان دهنده تأثیر محلول های آهن دار است. به نظر این محقق، کانسارهای اسکارنی که از اپیدوت غنی هستند با گرانیتوییدهای مگنتیتی، و آنهایی که قیفر از اپیدوت می باشند، با گرانیتوییدهای ایلمنیتی همراه هستند. حضور توده گرانیتوییدی از نوع I و گسترش اپیدوت در منطقه، با این امر سازگار است. در برخی از شکستگی ها، کلیست و کوارتز به صورت رگچه در کنار هم حضور دارند. همراهی کلیست و کوارتز در رگه های کوارتز- کربنات، مربوط به یک فاز تأخیری است.

مگنتیت کانه اصلی است و بیشتر حجم کانسارها را تشکیل می دهد. بافت کانه مگنتیت در نمونه ها به طور عمده توده ای، انتشاری و کاتاکلاستیک است. ماده معدنی (مگنتیت) در کانسارهای آهن شمال سمنان، به طور عمده به صورت توده های کوچک و رگه های مگنتیت با خلوص زیاد و بیشتر در درون سنگ های آتششانی آندزیتی و داسیتی جای گرفته است (شکل ۱۰). تعدادی از بلورهای مگنتیت بافت زون بنده نشان دهد که در اثر تبدیل مگنتیت به هماتیت رخ می دهد (Ramdohr, 1980) مارتیت شدن نوع خاصی از پدیده جانشینی است که در طی آن، مگنتیت در امتداد سطوح (۱۱۱) توسط هماتیت جانشین می شود (Craig and Vaughan, 1981). این پدیده در بخش های تکتونیزه شدت بیشتری دارد (شکل ۱۱). در کانسار زرد کمر، Einaudi et al. (1981) رگچه های فراوانی از اولیئیت وجود دارد. بر اساس

این رگچه های اولیئیت نشان دهنده فاز پایانی گرمابی است.

به نظر Haynes et al. (1995) برای تشکیل هماتیت در قسمت های بالای کانسار حضور اکسیژن ضروری است. به عبارت دیگر، باید فو گاسیته اکسیژن افزایش یابد. برای این امر یک منبع خارجی لازم است تا این میزان زیاد اکسیژن را فراهم کند و محتمل ترین منبع اکسیژن، آب های جوی است که در اثر چرخش در قسمت بالایی کانسار باعث اکسیده شدن قسمت بالایی کانسار می شوند. هماتیت در زون های اکسیدی و سطحی به طور گستره حضور دارد. تمام کانسگ هایی که در منطقه رخنمون دارند، بر اثر هوازگی به مجموعه ای از اکسیدهای آهن تبدیل شده اند که در این میان، گسترش هماتیتی شدن بارگ است. در بخش های جنوب باختنی منطقه، شدت دگرسانی به حدی بوده که اخیری تشکیل شده است.

پیریت، گستره ترین و فراوان ترین کانی سولفیدی در پوسته زمین بوده و فاز کدر اولیه نهشته های معدنی را تشکیل می دهد. پیریت به طور معمول به اکسیدها و

و در متن سنگ ها وجود دارد. بلورهای پلازیو کلاز، سریستی و بلورهای ارتو کلاز، کائولینیتی شده اند. در برخی قسمت ها، بافت برشی قابل رویت است. در فضاهای کششی، کوارتز به صورت چند بلورین رشد کرده است (غیاثوند و همکاران، ۱۳۸۳). کانی های اصلی سنگ های گرانیتوییدی شامل پلازیو کلاز (آلیت و الیگو کلاز)، فلدسپار قلیایی (ارتوكلازال با دوقطبی بارز کارلسپاد) و کوارتز است. هورنبلد، بیوتیت و پیروکسن به مقدار کم، کانی های کدر به صورت پراکنده و کلیست ٹانویه حاصل دگرسانی نیز وجود دارند. بیوتیت بارنگ بیر فریانس سبز کمرنگ، کلریتی شده است. بافت این سنگ های به طور عمده ریزدانه تا دانه ای است. اما بافت های پر پیتیت، میرمکیت و گرانوفیری نیز به طور گسترش در این سنگ ها مشاهده می شود (غیاثوند و همکاران، ۱۳۸۴).

از نظر ساختاری منطقه مورد نظر در جنوب زون البرز مرکزی قرار دارد. گسل های مهمی که در منطقه تأثیر داشته اند، شامل گسل های سمنان، در جزین، عطاری و دیکتاش می باشند که از این بین، نقش گسل های سمنان با روند شمال خاوری - جنوب باختنی و در جزین با روند شمال خاوری - شمال باختنی - جنوب خاوری، بسیار بیشتر است. علاوه بر این، گسل های فرعی با روند خاوری - باختنی و شمال باختنی - جنوب خاوری که بیشتر در ارتباط با گسل سمنان هستند، اهمیت زیادی بخصوص در کنترل کانه زایی در منطقه دارند (شکل ۴). بر اساس نمودار گلسرخی رسم شده برای منطقه، سه سامانه گسلی با روندهای شمال باختنی - جنوب خاوری، خاوری - باختنی و شمال خاوری - جنوب باختنی وجود دارد (شکل ۵).

دگرسانی

به طور کلی، دگرسانی در کانسارهای آهن شمال سمنان بسیار گستره بوده و هاله هایی را در اطراف کانسارها به وجود آورده است. گسل های موجود، به عنوان کانال های ارتباطی عمل کرده و چرخش سیالات گرمابی منجر به کانی سازی رگه - رگچه ای و دگرسانی سنگ های آشفشانی اسیدی و حد واسط شده است. بر اساس مطالعات صحرایی، میکروسکوپی و نتایج تجزیه XRD، دگرسانی های پروپلیتی، آرژیلی، سیلیسی، سریستی، کلریتی و پیریتی، به ترتیب بیشترین گسترش را در منطقه دارند. کانی های عمدۀ در زون های دگرسان شده عبارتند از: کائولینیت، اپیدوت، مونتموریلونیت، مسکوویت، سریست، کلریت، کوارتز، آلیت، کلیست و سیدریت. دگرسانی غالب در منطقه، پروپلیتی شدن است که در همراه توده گرانیتوییدی با سنگ های گدازه و آذرآواری ائوسن رخ داده و کانه زایی آهن را به همراه داشته است. این پدیده که در صحراء رنگ سبز روشن تا زیتونی مشخص است، موجب افزایش Ca^{2+} و Fe^{3+} در سنگ شده و نشانگر فعالیت بالای این دو عنصر است. دگرسانی آرژیلی نیز در منطقه گسترش داشته و باعث تشکیل کانی های رسی و در نتیجه سفید شدن سنگ های دیواره شده است. فلدسپارهای موجود در سنگ های میزبان، به شدت تخریب و فرسایش یافته و به کانی های رسی و کوارتز تبدیل شده اند. بر اساس نتایج تجزیه XRD از نواحی دگرسانی آرژیلی، کانی های مونتموریلونیت و کائولن به فراوانی دیده می شوند. کائولینیتی شدن در اطراف گنبد های اسیدی (داسیت ها) رخ داده و در جای جای منطقه بویژه بخش های مرکزی و باختنی، از آنها بهره برداری شده است (شکل ۶).

کانی شناسی، ساخت و بافت و توالی پارازنیک

کانی شناسی زون اسکارن اهمیت بسزایی در شناخت ارتباط ماده معدنی با سنگ درونگیر آن دارد، چرا که کانه زایی انجام شده بیشتر در ارتباط با این زون است. کانی شناسی این زون به طور عمدۀ شامل گارنت (گروسو لار، آندرادیت، آلماندین، اسپسارتین)، مگنتیت، کالکوپیریت، پیریت، اپیدوت، کلریت، کلیست، کوارتز،

تراکی بازالت، تراکی آندزیت بازالتی، تراکی آندزیت، تراکیت، تراکی داسیت و ریولیت دارند (شکل ۱۶). نمونه‌های توده گرانیتوییدی نوکه در نمودار Middlemost (1994)، نوع سنگ، شامل کوارتز موژنوت، گرانودیبوریت، گرانیت و آکالی فلدسپار گرانیت را نشان می‌دهند (شکل ۱۷).

سنگ‌های آتشفشاری در نمودارهای (Irvine and Baragar 1971) و (Maniar and Piccoli 1989)، از تیپ قلایی سدیمی تا پاتاسیمی (شکل ۱۸) و متاآلومین تا پرآلومین (شکل ۱۹) هستند و سنگ‌های درونی نیز در نمودارهای یاد شده، از تیپ کلسیمی-قلایی سدیمی تا سدیمی (شکل ۲۰) و متاآلومین (شکل ۲۱) هستند. به طور کلی، سنگ‌های درونی ویژگی‌های گرانیت‌های نوع I (صمدی، ۱۳۷۷) را نشان می‌دهند. بر اساس نمودار (Batchlor & Bowden 1985)، تحول ژئوشیمیابی گرانیتوییدها در یک چرخه کوهزایی و در زون همگرا رخ داده است (شکل ۲۲). به عبارت دیگر، توده گرانیتوییدی منطقه در رژیم زمین ساختی همزمان با برخورد تا فراخاست پس از برخورد و مراحل آخر کوهزایی قرار می‌گیرد. سنگ‌های آذربین منطقه، اعم از خروجی و درونی، قرابت ژئوشیمیابی دارند.

در کانسارهای آهن، بررسی ژئوشیمیابی عنصر فریک مانند Ti, V, Cr, Mn, Fe, Co و Ni دارای اهمیت خاصی است. تغیریق ژئوشیمیابی این عناصر، به دلیل خواص اتمی مشابه، به نسبت اندک است. بررسی نمونه‌های جمع آوری شده از منطقه، نشان می‌دهد که ترکیب ماده معدنی در کانسارهای جنوب زردتل، زردکمر و باخته منطقه، مشابه است (شکل ۲۳).

بر اساس (Cox and Singer 1981)، (Meinert et al. 1984) و (Einaudi et al. 1986)، وجود کبات، از مشخصه‌های بارز اسکارن‌های آهن کلسیک بوده و این مسئله آن را از دیگر انواع اسکارن متمایز می‌سازد. لذا حضور کبات در نمونه‌های ماده معدنی منطقه مورد مطالعه، می‌تواند معرف اسکارن آهن کلسیمی باشد. به نظر (Meinert 1984)، نسبت مولی Al/Fe در محلول با فشار Kb ۲، با توان سوم میزان کلرید فاز سیال ارتباط خطی دارد. از این‌رو، باید به نسبت $\text{Al}_2\text{O}_3/\text{Fe}_2\text{O}_3$ توجه داشت. میزان این نسبت در کانسارهای آهن شمال سمنان بالا است و بر این اساس، در کانسارهای منطقه میزان کلرید در فاز سیال کاهنده‌دار بالا بوده است. به همین دلیل است که میزان عناصر حمل شونده با کپلکس کلریدی از جمله مس، روی و سرب (شکل ۲۴) در این کانسارهای بالا است. با توجه به اهمیت کلر و کپلکس‌های کلریدی در حمل عناصری همچون آهن، مس، سرب و روی، روند تغییرات این عناصر از توده گرانیتوییدی تا ماده معدنی بررسی شد. بر اساس شکل ۲۵، تمرکز این عناصر با افزایش شدت اسکارنی شدن، افزایش می‌یابد. میزان غنی‌شدگی عناصر مزبور متفاوت بوده، که نشان از تفاوت در نوع لیکاندها و میزان پایداری کپلکس‌های حمل کننده دارد. میزان غنی‌شدگی برای عناصر مس، آهن، روی و سرب، بین توده نفوذی و ماده معدنی، به ترتیب برابر ۲۱۷، ۱۶۵ و ۴ است.

با افزایش شدت اسکارنی شدن در کانسارهای آهن شمال سمنان، اکسیدهایی مانند سیلیس، آلومین و قلایی‌ها روند کاهشی و در مقابل، اکسیدهایی مانند MnO، CaO، MgO، Fe₂O₃، CaO، MgO و عناصری مانند Cu, V, Zn, F, Co, Ni, Ce, Pr و Sm روندی افزایشی را نشان می‌دهند. افزایش گارنت و پیروکسن است. اکسید آهن با افزایش اسکارنی شدن، افزایش نشان می‌دهد.

بر اساس (Newberry et al. 1990)، (Meinert et al. 1990)، (Meinert et al. 1992، 1995) و (Meinert 1984)، توده‌های نفوذی نقش مهمی در تشکیل اسکارن و تأمین ماده معدنی دارند، به گونه‌ای که بین کانسارهای اسکارن و توده‌های نفوذی همراه، ارتباط تنگاتنگی حاکم است و

هیدروکسیدهای آهن دگرسان می‌شود. این کانی، فراوان‌ترین کانی سولفیدی در کانسارهای آهن شمال سمنان است (شکل ۱۲). بافت پیریت، به صورت توده‌ای، پراکنده، کاتاکلاستیک، برشی و رگچه‌ای دیده می‌شود. پیریت به صورت پرکنده فضای خالی و جانشینی توسعه پیدا کرده و غالباً به صورت جانشینی، اطراف و یا داخل کانی‌های باطله نیز تشکیل شده است. در نمونه‌های دستی و میکروسکوپی، بهوضوح، جانشینی آن در شکستگی‌های کانی‌های باطله از جمله گارنت دیده می‌شود. فاز سولفیدی (پیریت)، فاز اکسیدی (مگنتیت) را قطع کرده و در شکستگی‌ها و زون‌های برشی مشاهده می‌شود. پیریت در جاهایی مگنتیت را محصور کرده و نشان از آن دارد که سولفید بعداً وارد شده و نسل دیگری از کانی زایی است (شکل ۱۳). در شکستگی‌ها، بیشتر اکسیدهای آهن، مانند گوتیت، لپیدوکروسیت و اخراج آهن حضور دارند، ولی متن اصلی، مگنتیت مارتیتی شده است (شکل ۱۴). زمین‌ساخت بعدی باعث خرد شدن کانه شده است، تا جایی که مگنتیت‌ها و پیریت‌هایی که در رگه-رگچه‌ها قرار گرفته‌اند، خرد شده‌اند. بخشی از فاز سولفیدی (پیریت) دگرسان شده و هیدروکسیدهای آهن مانند لپیدوکروسیت و گوتیت را ایجاد شده است، ولی بقایای پیریت قابل مشاهده است. لپیدوکروسیت با بافت کلوفرم موجود در شکستگی‌ها، حاکمی از مراحل پایانی اسکارن‌زایی و دمای پایین سیالات گرمابی است. مالاکیت و آزوریت کانی‌های ثانویه مس می‌باشند که در اثر اکسایش کالکوپیریت حاصل شده‌اند.

کانه‌زایی در کانسارهای آهن شمال سمنان در سه مرحله دگرگونی، متاسوماتیسم و هوازدگی انجام شده است (شکل ۱۵). با نفوذ توده گرانیتوییدی نوکه در سنگ‌های آتشفشاری-آذرآواری، یک دگرگونی همبrij در حد رخساره آلتیت-اپیدوت هورنفلس در منطقه ایجاد شده است. در پی آن، متاسوماتیسم و تشکیل اسکارن با شروع تبلور ماقما و رها شدن سیالات ماقماشی شروع شده و در مرحله اسکارن پیشرونده، تهشینی مگنتیت و سولفیدها آغاز شده و در مرحله اسکارن پیشرونده، تهشینی کانی‌های سولفیدی به اوج می‌رسد. به عبارت دیگر، کانی‌های فاز اسکارن پیشرونده مانند گارنت (نوع آندرادیت، گراسولار، اسپارتن و آلماندین)، کلینوپیر و کسن (نوع دیوپسید) و آلتیت، با کانه‌زایی اکسیدی (مگنتیت) و مقدار کمی سولفیدی (پیریت و کالکوپیریت) همراه بوده است. در مرحله اسکارن پیشرونده، کانی‌های تشکیل شده در مرحله پیشرونده، دگرسان و تخریب شده و کانی‌هایی مانند پیریت، کالکوپیریت، کلریت، اپیدوت، آمفیبول و هماتیت ایجاد شده‌اند. در پایان این مرحله، فاز تشکیل کوارتز-کربنات رخ داده که به صورت گسترده در منطقه گسترش یافته است. در مرحله متاسوماتیسم، بافت‌های مشاهده شده شامل افسان، برشی، پرکننده فضای خالی، توده‌ای و رگه-رگچه‌ای است. بر اثر فرایندهای سوپرژن و هوازدگی، بعضی از کانی‌ها مانند گوتیت، لپیدوکروسیت، مالاکیت و آزوریت با بافت‌های رگه-رگچه‌ای و پراکنده تشکیل شده‌اند.

ژئوشیمی

به منظور مطالعات ژئوشیمی، ابتدا ۱۵ نمونه به روش XRF در دانشگاه تربیت مدرس تجزیه شدند و بر اساس نتایج حاصل، ۱۲ نمونه برای ۳۸ عنصر با ذوب لیتیم متaborات و به روش‌های ICP-MS و ICP-AES در موسسه ALS-Chemex و نکوور کانادا تجزیه گردیده، سپس نتایج حاصل با کمک نرم‌افزارهای مختلف پردازش و تحلیل شد (جدول ۱).

سنگ‌های آتشفشاری منطقه در نمودار (LeBus & Streckeisen 1991)، ترکیب

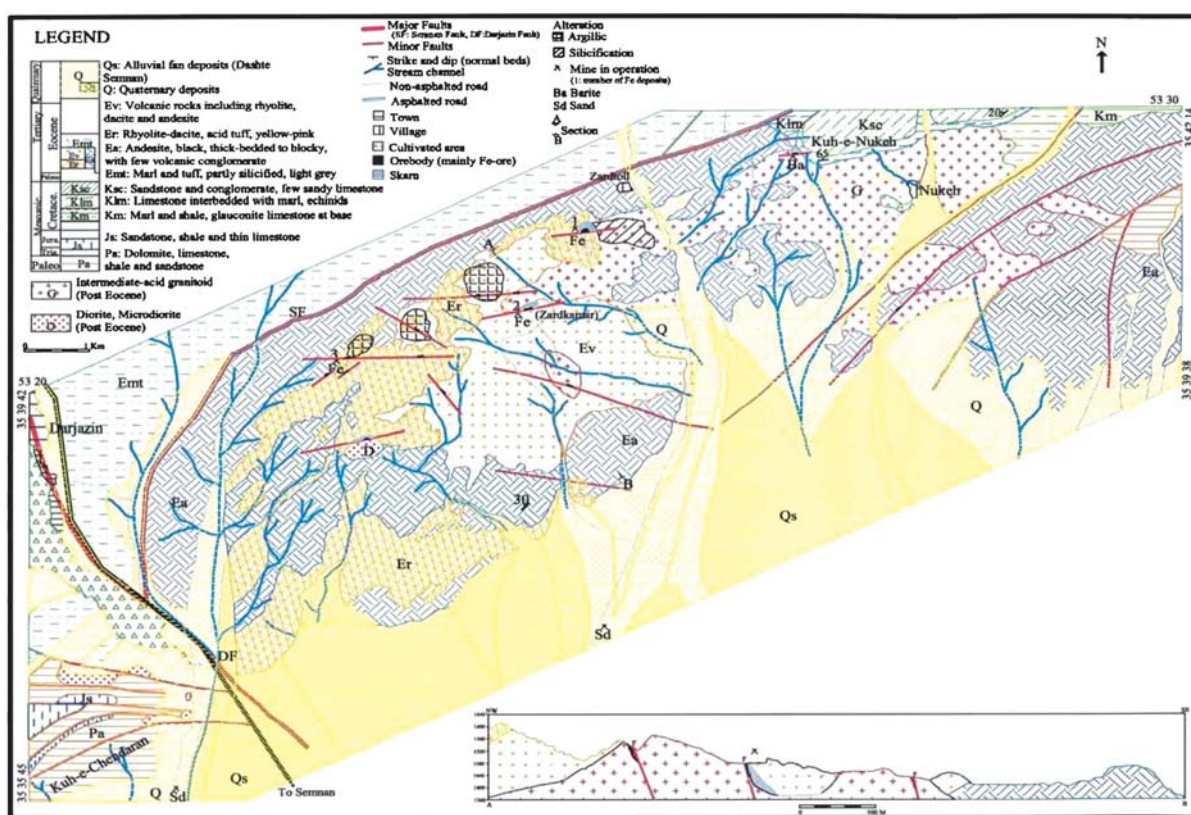
تا ماده معدنی، بردارها به سمت آب‌های ماگمایی تمایل دارند (شکل‌های ۲۷ تا ۲۹) و این تمایل نشانگر آن است که سیال‌های مؤثر در کانه‌زایی منشأ ماگمایی دارند. در نتیجه، می‌توان گفت که سیال مسئول کانه‌سازی، طی فرایندهای تفریق و تبلور توده‌های گرانیت‌ویدی منطقه، به صورت یک فاز سیال ماگمایی تشکیل شده‌اند.

نتیجه‌گیری

تزریق توده گرانیت‌ویدی نوکه با سن پس از اثوسن، حجم زیادی سیال آهن دار را در سنگ‌های آتش‌شکنی-آذرآواری اثوسن رانده و باعث بروز متاسوماتیسم قلیانی، تشکیل هاله اسکارنی و نهشته‌شدن کانسارهای آهن شمال سمنان شده است. در این راستا، گسل‌های منطقه نیز به عنوان گذرگاه‌هایی برای عبور و انتشار سیال، با پدیده کانه‌زایی مرتبط می‌شوند. ویژگی‌های توده نفوذی منطقه، همان‌نگی بسیار جالبی را با توده‌های نفوذی مولد اسکارن آهن نشان می‌دهد. بر اساس تحلیل پارامترهای محاسبه‌شده برای عناصر REE، سیال‌های دست‌اندرکار کانه‌زایی منشأ ماگمایی دارند. این سیال‌ها و توده نفوذی منطقه، حاصل فرایندهای تفریق و تبلور مگماتیسم منطقه هستند که به تدریج در فازهای مختلف و به صورت بلور-مذاب، بلور-مذاب-سیال و مذاب-سیال از ماگمای والد تفریق حاصل گردیدند. به عبارت دیگر، سیال ایجاد کننده زون اسکارن، رابطه زایشی تنگاتنگی با توده گرانیت‌ویدی دارد. در نتیجه، سیال‌های مسئول کانه‌زایی، از نوع ماگمایی و وابسته به تحولات ماگمایی منطقه است و توده نفوذی در تأمین مواد معدنی تشكیل دهنده اسکارن، سهم عمده‌ای داشته است. کانه‌زایی در کانسارهای آهن شمال سمنان، از نظر بافت و ساخت کانه‌ها، کانی‌شناسی، دگرسانی، پاراژنر کانه‌ها، ژئوشیمی و منشأ کانه‌زایی تشابه زیادی با کانسارهای اسکارن آهن کلیسیک دارد.

بر اساس این تحقیقات، هر نوع اسکارنی متناظر با ترکیب شیمیایی خاصی از توده نفوذی است. این تنازن در جدول ۲، با توده نفوذی گرانیت‌ویدی منطقه، مقایسه شده است. ویژگی‌های توده نفوذی منطقه، از نظر اکسیدهای اصلی مانند SiO_2 , Al_2O_3 , Zr , Y , Nb , Ga , Ce , MnO , CaO و Na_2O و FeO^* , Zn و Zr/TiO_2 ، همان‌نگی بسیار جالبی را با توده‌های نفوذی مولد اسکارن آهن نشان می‌دهند و بر اساس این بررسی، توده‌های نفوذی منطقه به عنوان خاستگاه تأمین ماده معدنی (آهن)، نقش عمده‌ای داشته‌اند.

در این تحقیق، از داده‌های Sun and McDonough (1989) و از داده‌های Masuda (1975)، برای انجام محاسبات مربوط کمک گرفته شده است. یکی از اهداف اصلی مطالعه کانسارهای تعیین خاستگاه سیالات گرمایی مؤثر در کانه‌زایی است (Kato, 1999) و برای نائل شدن به این هدف ارزشمند، علاوه بر نمودارهای عنکبوتی، از عامل‌ها و نسبت‌های دیگری نیز کمک گرفته می‌شود. اولین عامل، نسبت ضریب تفریق است که با La/Yb محاسبه می‌شود. ولی با مطالعات جدید صورت گرفته و ساخت اثر ترا در ایجاد تهی شدگی (Peppard et al., 1969; Masuda & Ikeuchi, 1979) La آن شده است. پارامترهای دیگر عبارتند از: $\sum\text{REE}$, Ce/Ce^* , Eu/Eu^* , Pr/Yb ، پارامترهای دیگر تغییرات عناصر خاکی کمیاب در نمونه‌های مختلف سنگی، در کانسارهای آهن شمال سمنان، بررسی شد. روند سازگار توزیع عناصر خاکی کمیاب در توده نفوذی و سنگ اسکارنی حاکی از آن است که، سیال حامل REE که موجود زون اسکارنی است، رابطه زایش تنگاتنگی با توده گرانیت‌ویدی دارد (شکل ۲۶) و نشانگر خاستگاه مشترک برای این دو مجموعه است. در نمودارهای نشانگر تغییرات Eu/Eu^* , Ce/Ce^* ، Pr/Yb در $\sum\text{REE}$ ، از توده گرانیت‌ویدی تا ماده معدنی و نیز از توف آهکی (Kato, 1999) برابر است.



شکل ۱- نقشه زمین‌شناسی- معدنی منطقه شمال سمنان (غیاثوند، ۱۳۸۴، با تغییرات).

نحوه ۱- نتایج تجزیه ۳۸ عنصری با ذوب لیمیم متاپورات و به روش‌های ICP-AES، ICP-MS، ALS-Chemex کانادا (مقادیر بر حسب ppm است).

Sample no	Nd	Nb	Mo	Lu	La	Ho	Hf	Gd	Ga	Eu	Er	Dy	Cu	Cs	Cr	Co	Ce	Ba	Ag
M 15	98,7	14	36	-,7	90,7	2	5	12,7	14	10,8	8	8,0	9	2	5,	11,9	2,2	144	<1
NS-8-1	80,8	4	5	-,2	14,6	1	1	10	9	7,9	7,7	7,4	>1000	,2	6,	70,9	40,1	4,1	3
M V	19,7	2	111	<,1	37,8	,1	<1	2	2	1,7	-,7	-,7	28	,1	4,	2,8	99	1515	<1
I 14	9,7	1,	7	-,2	8,1	-,3	3	1,0	17	-,9	1,1	1,0	23	,1	13,	5,2	15,8	13	<1
E 9	19,6	V	5	-,1	28,5	-,7	3	3	1,	-,7	1,1	2	393	,2	13,	4,8	292	<1	
D 1	19,6	12	4	-,5	27,4	-,9	V	2,7	14	1,7	3	4,7	9	,8	4,	1,9	51,0	181	<1
NS-1-2	77,8	V	7	-,3	37,7	-,8	2	5,1	17	1,0	2,1	2,7	3,	2	6,	27	58,7	1370	<1
NS-2-2	79,1	10	8	-,0	28,4	1,7	4	7,0	10	1,9	2,1	2	155	,4	3,	78,7	97,1	270	<1
T Y	99,1	14	V	1,7	11,7	4,7	<1	10,8	10	2,7	14,7	21,7	2210	,1	10,	9,9	28	27,7	<1
II 1	19,7	9	5	-,7	18,7	-,9	4	8,9	19	1,7	2,7	8,7	11	,8	9,	15,8	39,7	295	<1
II 2	10,8	14	7	-,3	10,7	-,5	6	2,7	18	1,5	1,7	2,7	14	,1	16,	16,8	27,7	30,8	<1
II 5	19,8	9	5	-,3	19,7	-,9	4	8,7	19	1,7	2,7	2,1	13	1,8	V-	8,7	39,7	280	<1
Sample no	Zr	Zn	Yb	Y	W	V	U	Tm	Tl	Th	Tb	Ta	Sr	Sn	Sm	Rb	Pr	Pb	Ni
M 15	199	87	4,9	2-,7	1	372	140,	-,9	2,7	10	1,7	-,9	46	35	12,8	168	27	18	17
NS-8-1	81,7	777	1,0	29,7	V	277	8,7	-,7	<10	3	1,7	<10	277,7	A	11,7	1,1	2,7	10	27
M V	2,7	22	-,1	2,7	17	227	8,7	-,7	<10	<1	-,7	<10	112,7	A	1,7	-,9	2	22	7
I 14	135	15	1,1	1-,7	9	29	2,7	-,7	<10	V	-,7	-,7	47	2	1,7	-,9	1,7	5	17
E 9	177	F.	1,1	17,7	9	57	1,7	-,7	<10	5	-,7	<10	10,7	2	2,7	-,7	30	22	
D 1	771	33	7	28,7	5	11	4,7	-,7	<10	17	-,7	-,7	167,7	F	2,7	177	4,9	9	11
NS-1-2	97	179	1,8	22	8	299	1,7	-,7	<10	4	-,7	-,7	117	2	F,A	27,7	2,7	13	
NS-2-2	10,0	207	3,9	29,7	9	212	2,7	-,7	<10	V	1,1	-,7	177	A	2,7	27,7	11,7	26	27
T Y	4,0	277	17,7	171	<1	70	9,7	1,7	<10	5	2,7	<10	277,7	F	17	1,7	9,7	10	7
II 1	10,	77	2,7	20,7	7	277	1,7	-,7	<10	6	-,7	-,7	517	2	F,F	27	2,7	19	20
II 2	220	33	1,8	10,7	10	105	1,7	-,7	<10	17	-,7	1,1	221	2	2,7	1,7	2,7	10	22
II 5	177	100	2,7	20,7	F	277	2,7	-,7	<10	5	-,7	-,7	577	2	F,T	277,7	4,9	22	17

جدول ۲- مقایسه توده های نفوذی مولد اسکارن آهن و نمونه های منطقه بر اساس تغیرات اکسیدهای اصلی، عناصر کمیاب و برخی نسبت ها (Meinert et al., 1990; Newberry et al., 1990; Meinert, 1984, 1992, 1995). مقادیر اکسیدهای اصلی بر حسب درصد و دیگر عناصر بر حسب ppm است.

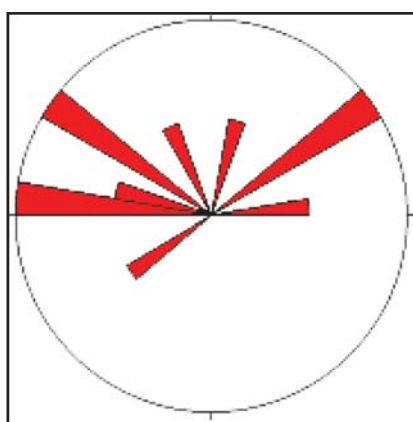
قدره اندیشه پیده منطقه		قدره اندیشه مولاد استکارن آهن		قدره اندیشه نفرمودی مولاد استکارن آهن	
متوجه		متوجه تغییرات		متوجه	
SiO ₂	تر کسپر	SiO ₂	تر کسپر	SiO ₂	تر کسپر
Al ₂ O ₃	تر کسپر	Al ₂ O ₃	تر کسپر	Al ₂ O ₃	تر کسپر
TiO ₂	تر کسپر	TiO ₂	تر کسپر	TiO ₂	تر کسپر
Fe ₂ O ₃	تر کسپر	Fe ₂ O ₃	تر کسپر	Fe ₂ O ₃	تر کسپر
FeO	تر کسپر	FeO	تر کسپر	FeO	تر کسپر
MnO	تر کسپر	MnO	تر کسپر	MnO	تر کسپر
CaO	تر کسپر	CaO	تر کسپر	CaO	تر کسپر
MgO	تر کسپر	MgO	تر کسپر	MgO	تر کسپر
K ₂ O	تر کسپر	K ₂ O	تر کسپر	K ₂ O	تر کسپر
Na ₂ O	تر کسپر	Na ₂ O	تر کسپر	Na ₂ O	تر کسپر
P ₂ O ₅	تر کسپر	P ₂ O ₅	تر کسپر	P ₂ O ₅	تر کسپر
Ni	تر کسپر	Ni	تر کسپر	Ni	تر کسپر
Cr	تر کسپر	Cr	تر کسپر	Cr	تر کسپر
Sc	تر کسپر	Sc	تر کسپر	Sc	تر کسپر
V	تر کسپر	V	تر کسپر	V	تر کسپر
Ba	تر کسپر	Ba	تر کسپر	Ba	تر کسپر
Rb	تر کسپر	Rb	تر کسپر	Rb	تر کسپر
Sr	تر کسپر	Sr	تر کسپر	Sr	تر کسپر
Zr	تر کسپر	Zr	تر کسپر	Zr	تر کسپر
Y	تر کسپر	Y	تر کسپر	Y	تر کسپر
Nb	تر کسپر	Nb	تر کسپر	Nb	تر کسپر
Ga	تر کسپر	Ga	تر کسپر	Ga	تر کسپر
Cu	تر کسپر	Cu	تر کسپر	Cu	تر کسپر
Zn	تر کسپر	Zn	تر کسپر	Zn	تر کسپر
Pb	تر کسپر	Pb	تر کسپر	Pb	تر کسپر
La	تر کسپر	La	تر کسپر	La	تر کسپر
Ce	تر کسپر	Ce	تر کسپر	Ce	تر کسپر
Th	تر کسپر	Th	تر کسپر	Th	تر کسپر
Rb/Sr	تر کسپر	Rb/Sr	تر کسپر	Rb/Sr	تر کسپر
Rb/Nb	تر کسپر	Rb/Nb	تر کسپر	Rb/Nb	تر کسپر
Rb/Ba	تر کسپر	Rb/Ba	تر کسپر	Rb/Ba	تر کسپر
Zr/TiO ₂	تر کسپر	Zr/TiO ₂	تر کسپر	Zr/TiO ₂	تر کسپر
Y ₂ Nb	تر کسپر	Y ₂ Nb	تر کسپر	Y ₂ Nb	تر کسپر
Y/Nb	تر کسپر	Y/Nb	تر کسپر	Y/Nb	تر کسپر
Ga/Sc	تر کسپر	Ga/Sc	تر کسپر	Ga/Sc	تر کسپر
Ce/Nb	تر کسپر	Ce/Nb	تر کسپر	Ce/Nb	تر کسپر
Al ₂ O ₃ /Na ₂ O+K ₂ O	تر کسپر	Al ₂ O ₃ /Na ₂ O+K ₂ O	تر کسپر	Al ₂ O ₃ /Na ₂ O+K ₂ O	تر کسپر
Al ₂ O ₃ /CaO+Na ₂ O+K ₂ O	تر کسپر	Al ₂ O ₃ /CaO+Na ₂ O+K ₂ O	تر کسپر	Al ₂ O ₃ /CaO+Na ₂ O+K ₂ O	تر کسپر
FeO/MgO	تر کسپر	FeO/MgO	تر کسپر	FeO/MgO	تر کسپر
K ₂ O/MgO	تر کسپر	K ₂ O/MgO	تر کسپر	K ₂ O/MgO	تر کسپر



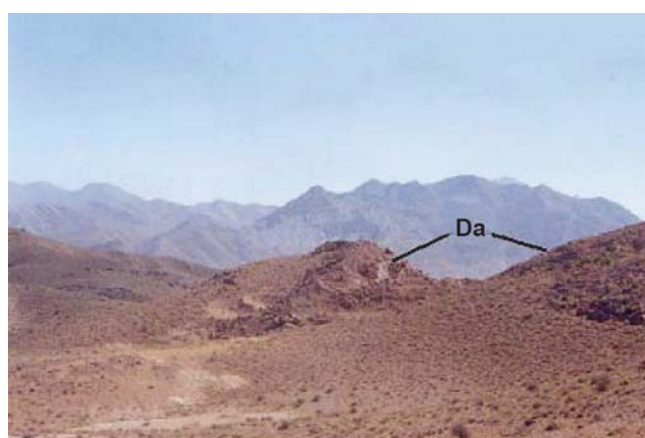
شکل ۳- منطقه همبُری توده نفوذی گرانیتوبیدی (Gr) و گنبدهای داسیتی که در جنوب زردتول تشکیل زون اسکارن را داده‌اند
توude نفوذی گرانیتوبیدی، Sk-z: زون اسکارن، Da: گنبدهای نیمه‌زرف داسیتی دگرسان شده، سوی دید به سمت خاور).



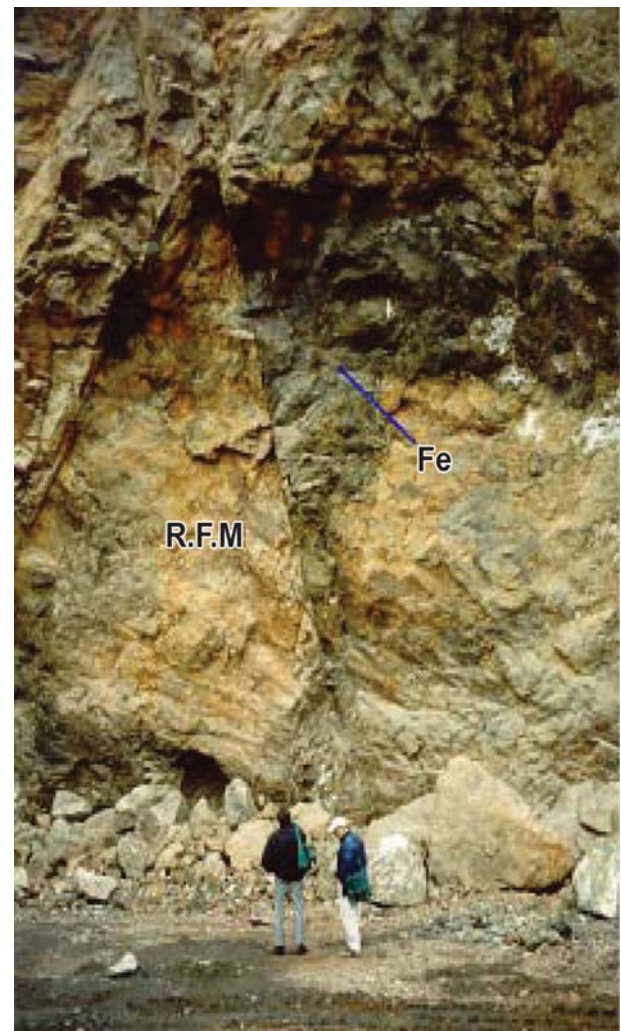
شکل ۲- انکلاوهایی از آشفشانی‌های اثوسن درون توده نفوذی گرانیتوبیدی در خاور روستای نوکه نشانگر جوانتر بودن توده نفوذی است (سوی دید به سمت شمال باخته‌ی).



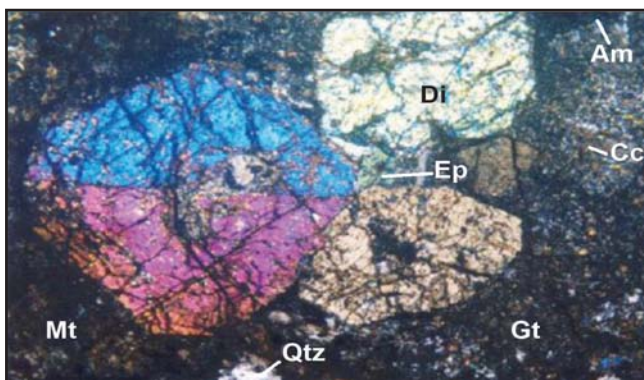
شکل ۵- نمودار گل سرخی رسم شده برای منطقه که نشانگر وجود سه سامانه گسلی اصلی با روندهای شمال‌باخته‌ی- جنوب‌خاوری، خاوری-باخته‌ی و شمال‌خاوری- جنوب‌باخته‌ی در منطقه می‌باشد.



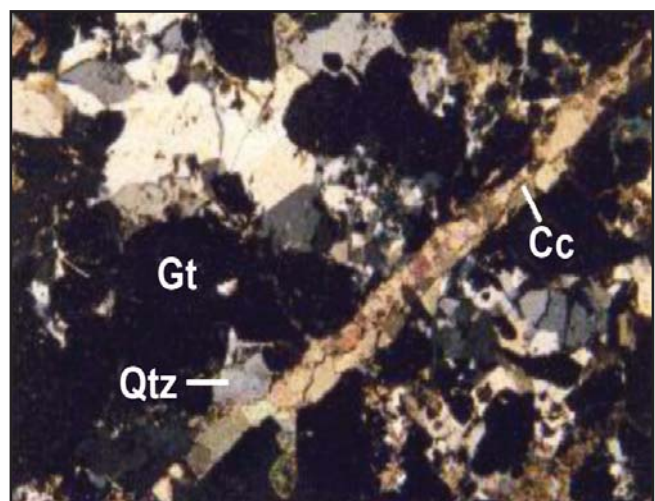
شکل ۶- نمایی از رخمنون‌های داسیتی (Da) در مرز شمالی منطقه و کانسار زردکمر که در حال بهره‌برداری به عنوان خاک صنعتی است (سوی دید به سمت شمال‌باخته‌ی).



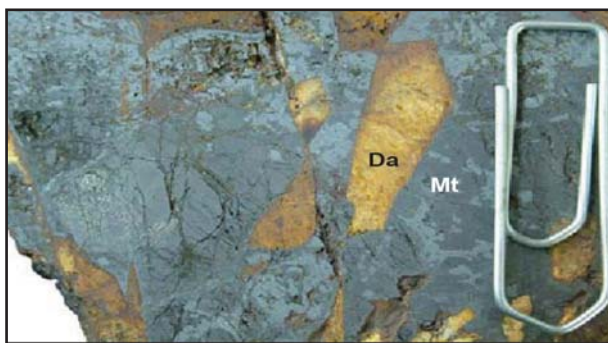
شکل ۴- کانه‌زایی آهن در امتداد سطح گسل‌شکل که در محل تقاطع گسل‌ها حجم بیشتری تشکیل شده است (سوی دید به سمت باخته‌ی، Fe: ماده معدنی مغنتیتی سنگ درونگیر آندزیتی).



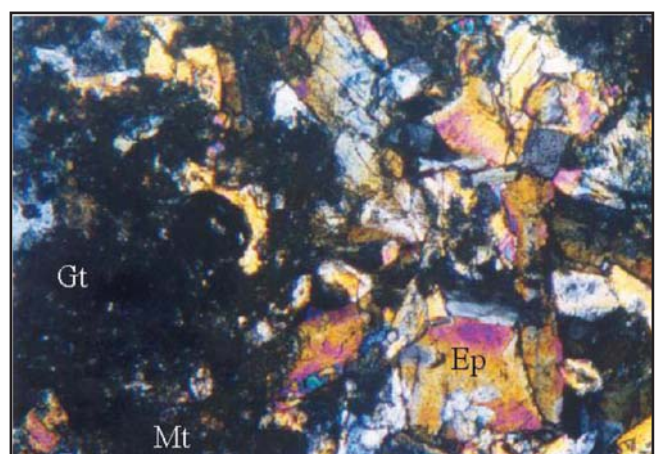
شکل ۸- کلینوپیروکسن نوع دیوپسید (Di) که دگرسان شده است، آمفیول (Am) اپیدوت (Ep)، کلسیت (Cc) و کوارتز (Qtz) در کنار مگنتیت (Mt) حضور دارند و بیشتر زمینه توسط گارنت نوع آسپارتین، آلماندین و گروسولار پوشیده شده است (10 X).



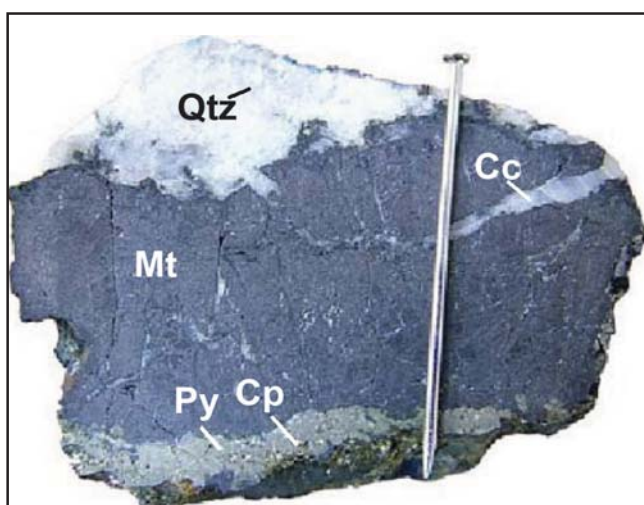
شکل ۷- گارنت‌های (Gt) گروه اوگراندیت همراه با رگجه‌های کوارتز (Qtz) و کلسیت (Cc) که مجموعه را قطع می‌کند (XPL, 2.5 X).



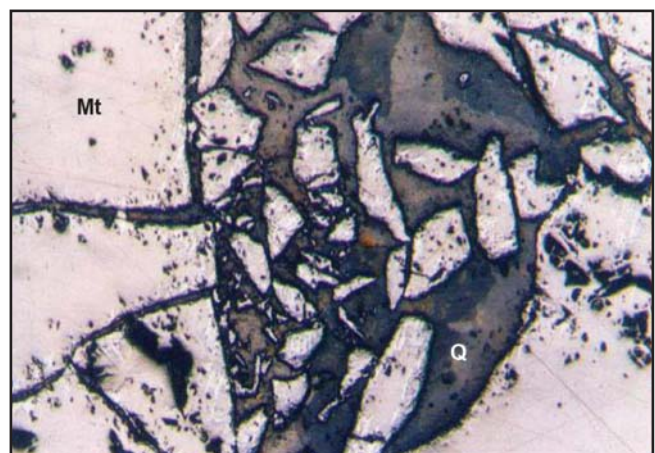
شکل ۱۰- مگنتیت (Mt) به صورت رگه-رگجه‌ای در سنگ درونگیر آتشفسانی داسیتی (Da) در جنوب کانسار زرد کمر ایجاد شده است. بخشی از سنگ درونگیر در مجموعه آهن دیده می‌شود که نشان از اپیژنیک بودن کانسنگ آهن نسبت به مجموعه آتشفسانی اسیدی دارد.



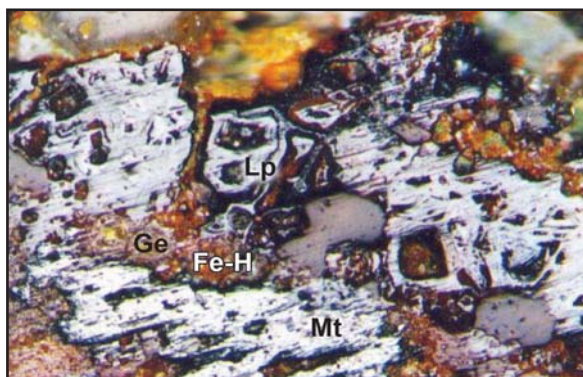
شکل ۹- اپیدوت‌های (Ep) حاصل دگرسانی گارنت، در زمینه گارنت در کنار مگنتیت و به مقدار کمی کوارتز و کلسیت، در زون اسکارن حضور دارند (10 X).



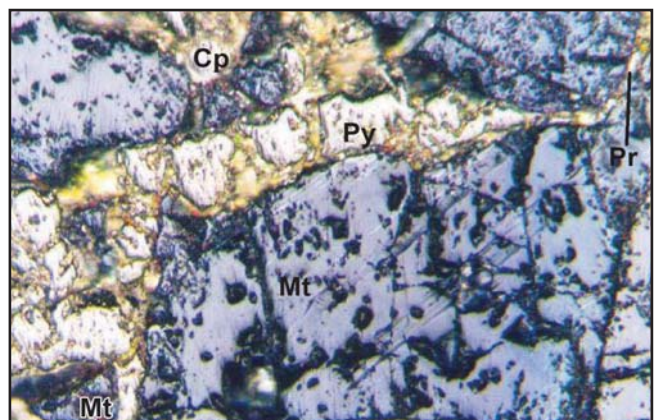
شکل ۱۲- فاز اکسیدی (مگنتیت مارتیتی شده) و فاز سولفیدی (پیریت و کالکوپیریت)، و کانی‌های باطله شامل بلورهای درشت کوارتز (Q) و کلسیت (Cc) در نمونه دستی از سنگ درونگیر آندزیت دگرسان شده، زون اسکارن کانسار زرد کمر.



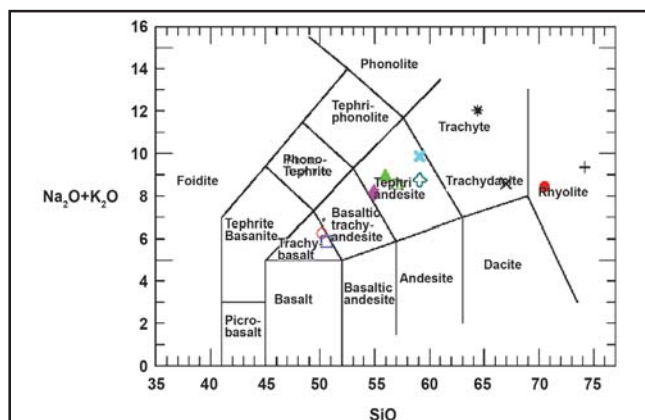
شکل ۱۱- مگنتیت مارتیتی شده با بافت برشی، که در باطله‌ای از کوارتز (Q) و کلسیت، در سنگ درونگیر آتشفسانی داسیتی رخ داده است (10 X).



شکل ۱۴- وجود زون پندی لپیدوکروسویت (Lp) و گوتیت (Ge) در بلورهای هیدروکسید آهن، حاکی از وجود پیریت است. مگنتیت به شدت مارتیتی شده و هیدروکسیدهای آهن (Fe-OH) را در شکستگی‌ها ایجاد کرده است (32 X in oil).

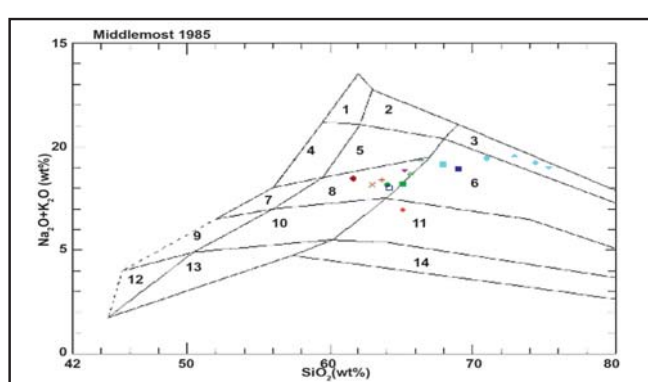


شکل ۱۳- پیریت (Py) به صورت نسل دیگری از کانه‌زایی در درزه و شکستگی‌های مگنتیت (Mt) مارتیتی شده، جای گرفته است (20 X).



شکل ۱۶- ردیبندی سنگ‌های آتش‌شانی منطقه شمال سمنان با استفاده از نمودار Lebus and Streckeisen (1991).

D 1:●, II 1:▲, S 37:◆, S 2:*, S 92:x, S 38:+, S 373:•, S 14:□, S 99:◇,
S 103:△, S 3:×, S 16:○.



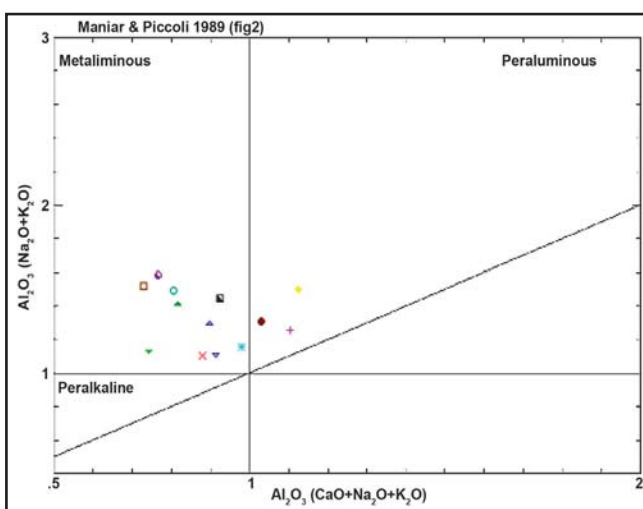
شکل ۱۷- ردیبندی سنگ‌های بلوتونیک منطقه شمال سمنان با استفاده از نمودار Middlemost (1994).

1. Alkali feldspar Syenite, 2. Alkali feldspar Quartz Syenite, 3. Alkali feldspar Granite, 4. Syenite, 5. Quartz Syenite, 6. Granite, 7. Monzonite, 8. Quartz Monzonite, 9. Monzodiorite, 10. Quartz Monzodiorite, 11. Grandiorite, 12. Diorite and Gabbro, 13. Quartz Diorite, 14. Tonalite.

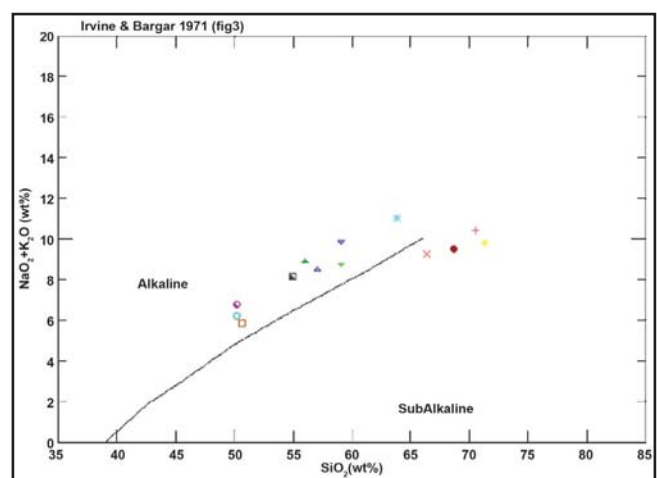
NS-EN3: ●, I 14: ■, II 2:◆, S 41: x, S 7: +, S 56: ●, S 295: □, SN 22: ▼, S 39: ▲, SN 28: ▽, SN 24: ■, S 27: ◇, SN 26: ▲, S 41:◆, SN 27: ▽, S 10: ○.

Mineral	Contact Metamorphism	Metasomatism		Weathering
		Prograde skarn	Retrograde skarn	
Magnetite				
Hematite				
Pyrite				
Chalcopyrite				
Marcasite				
Pyroxene				
Tremolite				
Garnet (Sp, Ad, Am, Gr)				
Actinolite				
Biotite				
Chlorite				
K-Feldspar				
Muscovite				
Epidote				
Quartz				
Calcite				
Mn-oxides				
Geothite				
Lepidocrocite				
Siderite				
Limonite				
Malachite/ Azurite				
Textures and Structures				
Disseminated				
Brecciated				
Open space-filling				
Massive				
Vein-veinlet				

شکل ۱۵- توالی پاراژنیک کانی‌ها و بافت و ساخت ماده معدنی در کانسارهای آهن شمال سمنان.

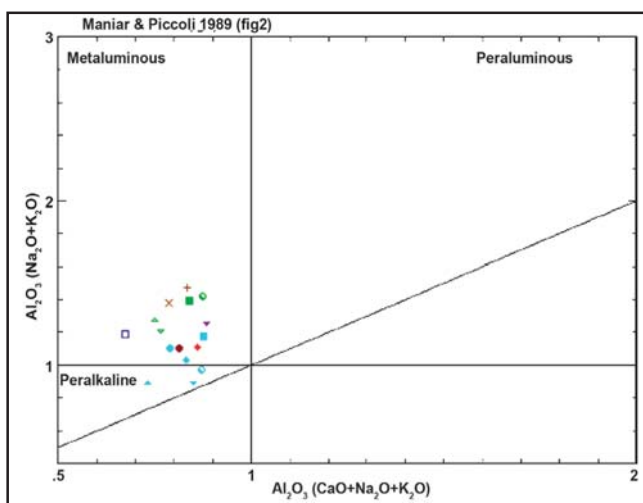


شکل ۱۹- بررسی درجه سیرشدگی از آلومینیم برای سنگ‌های آتشفسانی شمال سمنان، با استفاده از نمودار Maniar & Piccoli (1989)

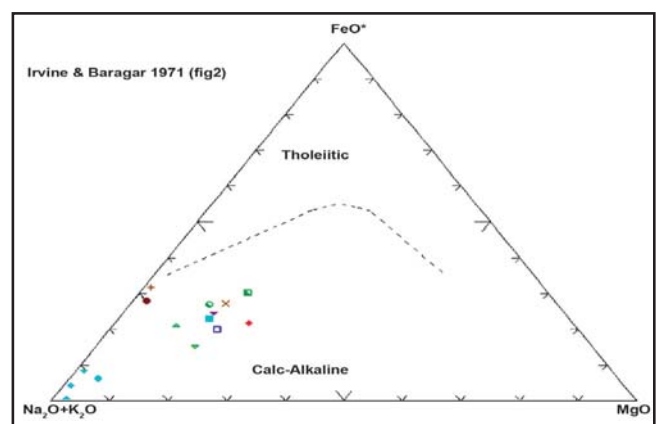


شکل ۱۸- سنگ‌های آتشفسانی شمال سمنان در نمودار Irvine & Baragar (1971).

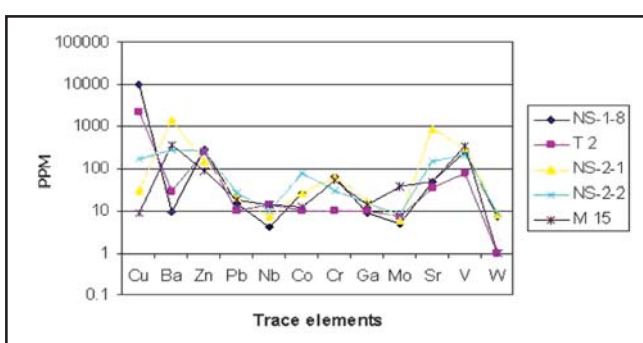
D 1: Circle-filled red, II 1: Triangle-filled up green,
S 37: Diamond-filled yellow, S 2: Asterisk, S 92: X,
S 38: +, S 373: Circle-half filled magenta, S 14: Box-open brown, S 19: Box-half
fixed grey, S 99: Triangle-filled down light-green, S 103: Triangle-open up blue,
S 16: Circle-open cyan.



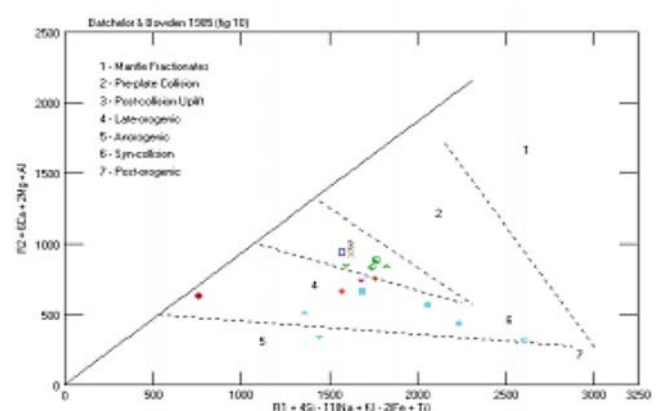
شکل ۲۱- نمونه‌های گرانیتیویدی شمال سمنان در نمودار Maniar & Piccoli (1989)



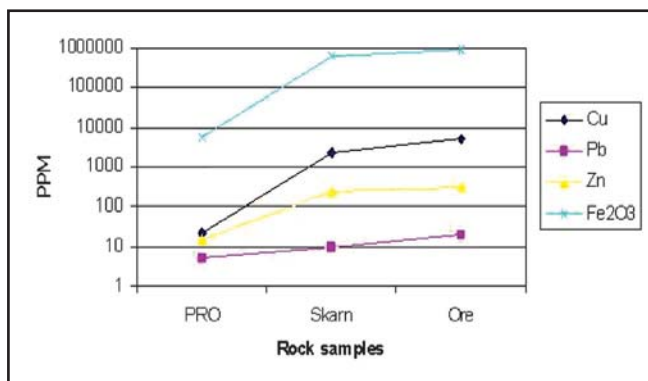
شکل ۲۰- سنگ‌های نفوذی شمال سمنان در نمودار محدوده سری کلسیمی - قیایی قرار گفته‌اند. Irvine & Baragar (1971)



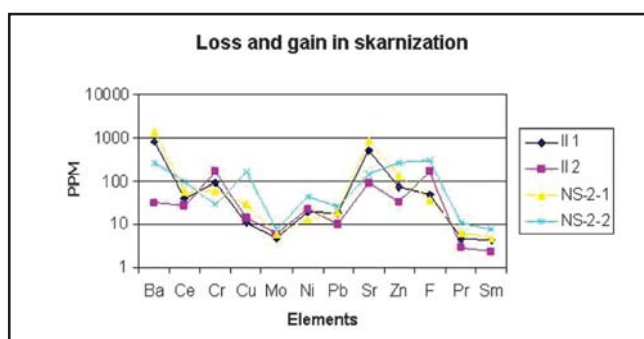
شکل ۲۳- فراوانی برخی عناصر (بر حسب ppm) در نمونه‌های معدنی سه کانسار عده شمال سمنان در زون اسکارن (8-1: NS-1-8 و T2: نمونه‌های معدنی کانسار خاور منطقه، 2-1 و 2-2: نمونه‌های معدنی کانسار مرکزی منطقه، 15: نمونه معدنی کانسار باخته منطقه).



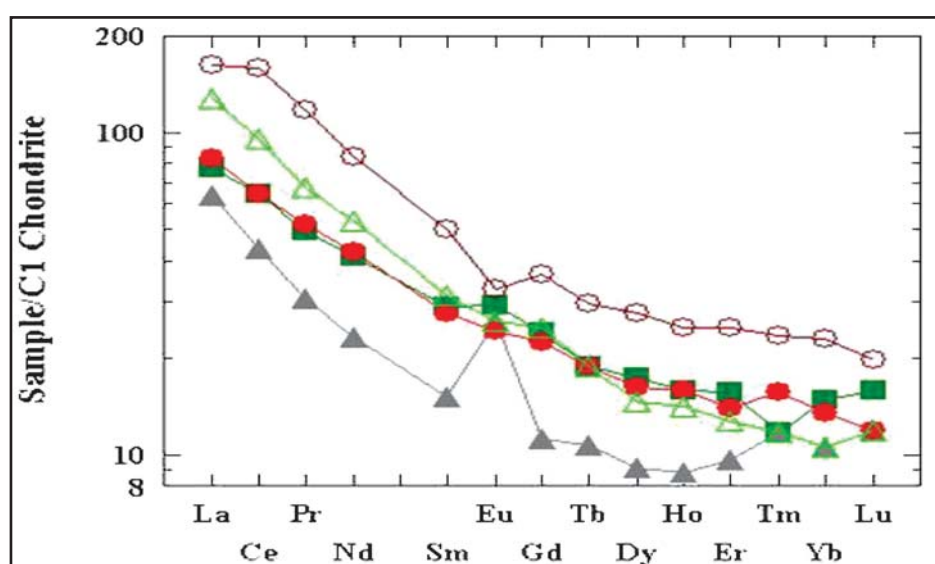
شکل ۲۲- سنگ‌های نفوذی شمال سمنان در نمودار Batchelor & Bowden (1985) نشانگر آن است که تحول ترکیبات شیمیایی گرانیتیویدها در یک چرخه کوهزایی و در زون همگرا رخ داده است.



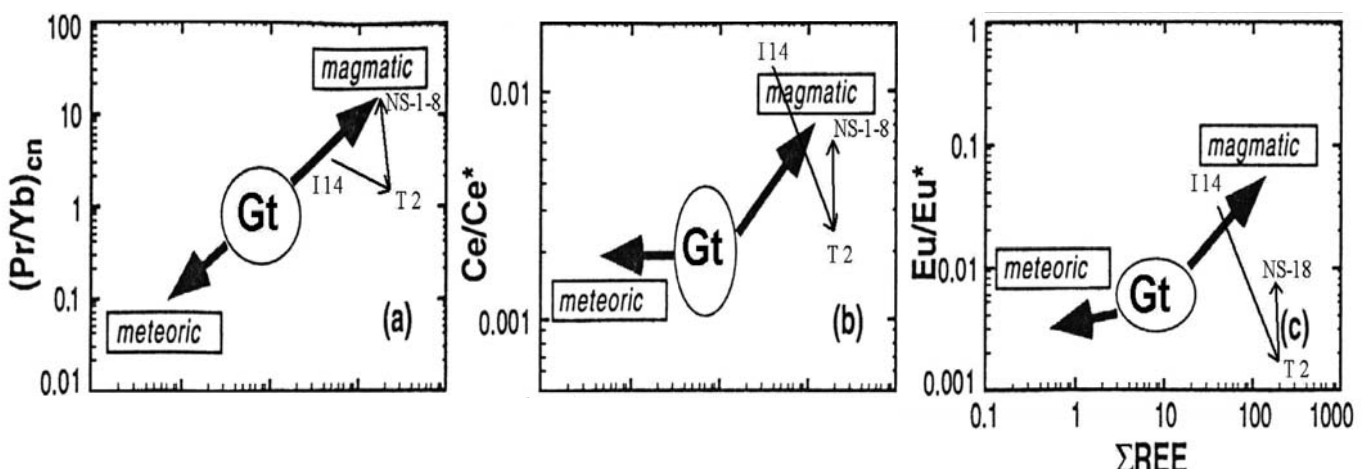
شکل ۲۵- میزان تغییر عناصر مس، روی و سرب و نیز اکسید آهن از سنگ اولیه تا ماده معدنی (بر حسب ppm) در کانسار زرد کمر.



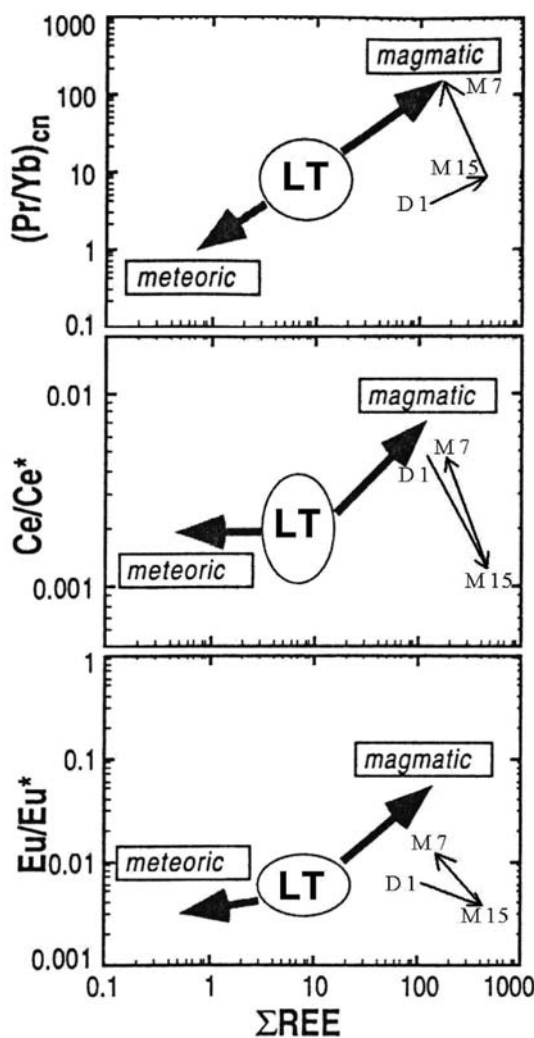
شکل ۲۴- میزان تغییرات برخی عناصر (بر حسب ppm) در طی فرایند اسکارنی شدن در کانسار مرکزی منطقه شمال سمنان
 ۱) توده نفوذی گرانیتوبیدی، ۲) توده نفوذی مجاور زون اسکارن،
 NS-2-1: شروع زون اسکارن، NS-2-2: زون اسکارن.



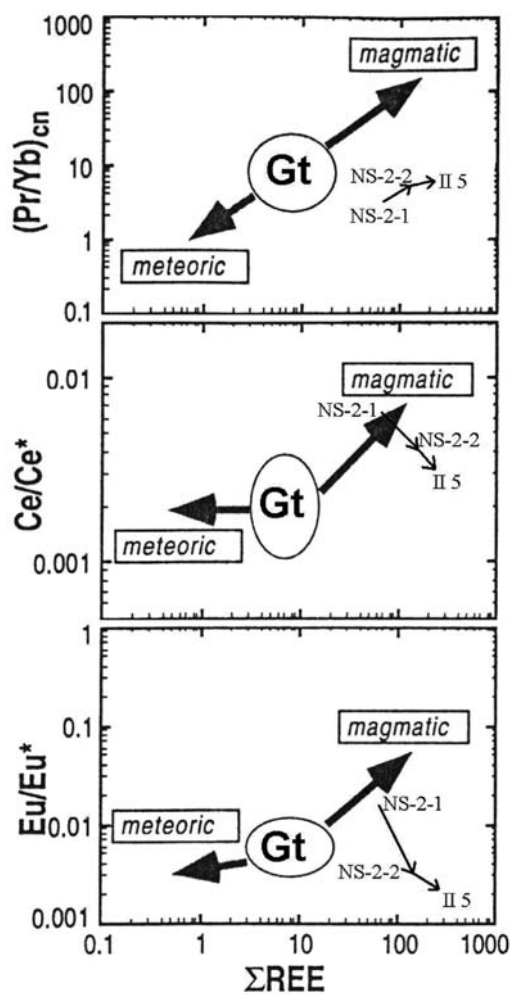
شکل ۲۶- روند تغییرات عناصر خاکی کمیاب در نمونه‌های مختلف سنگی منطقه شمال سمنان (مریع: توده نفوذی گرانیتوبیدی، دایره توخالی: گدازه آندزیتی، مثلث توخالی: شروع زون اسکارن، دایره توپر: زون اسکارن).



شکل ۲۷- نمودارهای نشانگر تغییرات REE توده گرانیتوبیدی، در نتیجه واکنش با سیال‌های گرمابی با منشا مagmaی یا جوی (Kato, 1999). پیکان‌های پیوسته، این تغییرات را برای توده گرانودیوریتی (Gt) تا ماده معدنی، نشان می‌دهند (I14: توده نفوذی گرانیتوبیدی مجاور زون اسکارن، T2: زون اسکارن و NS-1-8: ماده معدنی).



شکل ۲۹- نمودارهای نشانگر تغییرات REE توده گرانیتوبیدی، در نتیجه واکنش با سیال‌های گرمابی با منشأ ماقمابی یا جوی (Kato, 1999). پیکان‌های پیوسته، این تغییرات را برای توده کوارتزموزنونیتی (Gt) (تا ماده معدنی، نشان می‌دهند (D1): توف آهکی مجاور زون اسکارن، M15: زون اسکارن و M7: ماده معدنی).



شکل ۲۸- نمودارهای نشانگر تغییرات REE توده گرانیتوبیدی، در نتیجه واکنش با سیال‌های گرمابی با منشأ ماقمابی یا جوی (Kato, 1999). پیکان‌های پیوسته، این تغییرات را برای توده کوارتزموزنونیتی (Gt) (تا ماده معدنی، نشان می‌دهند (D1): NS-2-1؛ NS-2-2؛ NS-2-2: زون اسکارن و II-5: ماده معدنی).

کتابنگاری

- صدمی، م، ۱۳۷۷- پتروگرافی، پتروژنیز و ژئوشیمی سنگ‌های آذرین شمال تا شمال شرق سمنان، پایان‌نامه کارشناسی ارشد، دانشگاه تربیت معلم، ۱۱۱ ص.
- غیاثوند، ع، ۱۳۸۴- کانی‌شناسی، ژئوشیمی و خاستگاه کانسارهای آهن شمال سمنان، پایان‌نامه کارشناسی ارشد، دانشگاه تربیت معلم، ۱۵۹ ص.
- غیاثوند، ع، قادری، م. و رشدی‌ثزاد عمران، ن، ۱۳۸۳- کانسارهای آهن شمال سمنان، از دیدگاه کانی‌شناسی، ژئوشیمی و خاستگاه، بیست و سومین گردهمایی علوم زمین، ۲۶-۲۸ بهمن، سازمان زمین‌شناسی و اکتشافات معدنی کشور، ص. ۳۱۱-۳۱۲.
- غیاثوند، ع، قادری، م. و رشدی‌ثزاد عمران، ن، ۱۳۸۴- مطالعه کانی‌شناسی، ژئوشیمی و خاستگاه کانسارهای آهن شمال سمنان، نهمین همایش انجمن زمین‌شناسی ایران، ۸-۱۰ شهریور، دانشگاه تربیت معلم، ص. ۷۸۴-۷۸۵.
- نبوی، م. ح، ۱۳۶۶- نقشه زمین‌شناسی ۱:۱۰۰۰۰۰ سمنان، سازمان زمین‌شناسی کشور.

References

- Batchlor, R. A. and Bowden, P., 1985- Petrogenetic interpretation of granitoid rocks series using multicationic parameters, Chem. Geol., v. 48, p. 43-45.
- Cox, D. P. and Singer, D. A., 1986- Mineral deposit models, U.S. Geological Survey Bulletin 1693, 379 p.
- Craig, J. R. and Vaughan, D. I., 1981- Ore microscopy and ore petrography, John Wiley and Sons, Inc., 406 p.
- Einaudi, M. T., Meinert, L. D. and Newberry, R. J., 1981- Skarn deposits, Econ. Geol., v. 75, p. 317-391.
- Haynes, D. W., Cross, K. C., Bills, R. T. and Reed, M. H., 1995- Olympic Dam ore genesis: a fluid mixing model, Econ. Geol., v. 90, p. 281-307.
- Irvine, T. N. and Baragar, W. R. A., 1971- A guide to the chemical classification of the common volcanic rocks, Can. J. Earth Sci., v. 8, p. 523-548.
- Kato, Y., 1993- REE geochemistry of aluminous skarn in the representative Japanese skarn deposits, Resource Geol. Special Issue, no. 15, p. 393-400.

- Kato, Y., 1999- Rare earth elements as indicator to origins of skarn deposits: examples of the Kamioka Zn-Pb and Yoshiwara-Sannotake Cu (-Fe) deposits in Japan, Resource Geol., v. 49, no. 4, p. 183-198.
- LeBus, M. J. and Streckeisen, A. L., 1991- The IUGS systematics of igneous rocks, J. Geol. Soc. London, v. 148, p. 825-833.
- Maniar, P. D. and Piccoli, P. M., 1989- Tectonic discrimination of granitoids, G.S.A. Bulletin, v. 101, p. 635-643.
- Masuda, A. and Ikeuchi, Y., 1979- Lanthanide tetrad effect observed in marine environment, Geochim. J., 13, p. 19-22.
- Masuda, A., 1975- Abundances of monoisotopic REE, consistent with the Leedey chondrite values, Geochim. J., v. 9, p. 183-184.
- Meinert, L. D., 1984- Mineralogy and petrology of iron skarns in western British Columbia, Canada, Econ. Geol., v. 79, p. 869-882.
- Meinert, L. D., 1992- Skarn and skarn deposits, Geoscience Canada, v. 19, n. 4, p. 145-162.
- Meinert, L. D., 1995- Compositional variation of igneous rocks associated with skarn deposits - chemical evidence for a genetic connection between petrogenesis and mineralization, British Columbia.
- Meinert, L. D., Brooks, J. W. and Myers, G. L., 1990- Whole rock geochemistry and contrast among skarn-types: in Meinert, L.D. (ed.), Skarn deposits in Nevada, Great Basin Symposium, Geology and ore deposits of the Great Basin: Geological Society of Nevada, Fieldtrip 2, Guide book, p. 179-192.
- Middlemost, E. A. K., 1994 - Naming materials in the magma/igneous rocks system, Earth Sci. Rev., v. 3, p. 215-224.
- Newberry, R. J., Burns, L. E., Swanson, S. E. and Smith, T. E., 1990- Comparative petrologic evolution of the Sn and W granites of the Fairbanks-Circle area, interior Alaska: in Stein, H.J. and Hannah, J.L. (eds.), Ore-bearing granite systems: Petrogenesis and mineralizing processes: Geological Society of America, Special Paper, p. 121-142.
- Peppard, D. F., Mason, G. W. and Lewey, S., 1969- A tetrad effect in the liquid-liquid extraction ordering of lanthanides (III), J. Inorg. Nucl. Chem., v. 31, p. 2271-2272.
- Pichler, H., 1997- Rock-forming minerals in thin section, Chapman & Hall, 220 p.
- Ramdohr, P., 1980- The ore minerals and their intergrowth, Elsevier.
- Shimazaki, H., 1980- Characteristics of skarn deposits and related acid magmatism in Japan, Econ. Geol., v. 75, p. 173-183.
- Sun, S. S. and McDonough, W. F., 1989- Chemical and isotopic systematics of oceanic basalts: implications for mantle composition and processes, Geol. Soc. London Spec. Publ., v. 42, p. 313-345.

Mineralogy, Geochemistry and Origin of Iron Deposits in North of Semnan

By: A. Ghiasvand*, M. Ghaderi* & N. Rashidnejad-Omran*

* Faculty of Basic Sciences, Tarbiat Modares University, Tehran, Iran

Received: 2006 June 10

Accepted: 2008 May 31

Abstract

The iron deposits in north of Semnan are located in the south of Central Alborz structural zone. Stratigraphically, the area consists of Paleozoic to Quaternary rock series exposures. The area has been affected by Semnan, Darjazin, Attari and Diktash faults. An intermediate to acidic granitoid body of calc-alkaline and metaluminous composition, representing I-type granite characteristics, has intruded the Eocene volcanopyroclastic rocks in the north of Semnan. Skarn development and iron mineralization have occurred at the contact of the intrusive body and the volcanopyroclastic rocks. Mineral Paragenesis consists of magnetite accompanied by hematite, oligist, pyrite, chalcopyrite, garnet, pyroxene and epidote. Geometry of the ore bodies is massive, lenticular and vein type and their texture is disseminated, brecciated, vein-veinlet and massive. Dominant alterations in the area are propylitic, argillic, silicic, sericitic, chloritic and pyritic, respectively. The intrusive body has many similarities with intrusive bodies which form Fe-skarn deposits. Variations in the calculated parameters for REE indicate contribution of magmatic origin hydrothermal fluids to mineralization and that the intrusive body has had the dominant role as source of the skarn ore materials. Along with the intrusion, emplacement and crystallization of intrusive body, Fe-bearing fluids have intruded the volcanopyroclastic rocks, forming sodic metasomatism and deposited iron ores in the north of Semnan which have many similarities with calcic Fe-skarn deposits.

Key words: Mineralogy, Geochemistry, Iron, Skarn, Semnan.

For Presian Version see pages 33 to 44

E-mail: ghiasvand@yahoo.com

Investigation on the Alteration-Mineralization Haloes and Distribution Patterns of Cu, Au, Ag and Mo in the Miduk Porphyry Copper Deposit, Shahr-Babak, Kerman

By: N. Taghipour*, A. Aftabi* & M.R. Ramezani**

* Department of Geology, Faculty of Sciences, Shahid Bahonar University, Kerman, Iran

** Geology Office, Mine Affairs, Miduk Copper Complex, Kerman, Iran

Received: 2007 January 20

Accepted: 2008 August 13

Abstract

The Miduk porphyry copper deposit is located in 85 Km northwest of Sarcheshmeh porphyry copper deposit, Kerman province. The deposit is hosted by Eocene volcanic rocks of andesite-basalt composition. The porphyry-type mineralization is associated with two calc-alkaline intrusive phases (P1 and Miduk porphyry) of Miocene age. Five hypogene alteration zones are distinguished in the Miduk deposit, magnetite-rich potassic, potassic, potassic-phyllic, phyllitic and propylitic. The main stage of mineralization consists of chalcopyrite, magnetite and anhydrite in potassic alteration zone. The mineralization is mostly associated with Miduk porphyry intrusive phase. Three different types of biotite including magmatic, magmatic affected by hydrothermal fluids and secondary are distinguished at the Miduk deposit. Magmatic type biotites affected by hydrothermal fluids and secondary biotites contain higher X_{Mg} values than the magmatic biotites. The X_{Mg} are positively correlated with Si, Al, Mg, K, Mg/Ti, but negatively correlated with Al×Ti, Fe, Na, Fe/Ti contents. The variations of Cu, Mo, Au and Ag are controlled by vein - type alteration and mineralization zones. The tonnage of deposit is about 170 Mt with average grade of 0.82 % Cu, 0.007% Mo, 82 ppb Au and 1.8 ppm Ag, respectively. Highest values of Mo and Au occur in leached and oxide, supergene sulfide mineralization, phyllitic and potassic-phyllic alteration zones, respectively. Gold displays positive correlation with Cu in magnetite-rich potassic and potassic alteration zones. Based on petrography, mineralogy, alteration halos and patterns of Cu, Au, Ag and Mo, the Miduk porphyry copper deposit is similar to those of continental arc setting